

## ПЕРЕДАТОЧНЫЕ ФУНКЦИИ ДВИГАТЕЛЯ ПОСТОЯННОГО ТОКА ПРИ ДВУХКАНАЛЬНОМ УПРАВЛЕНИИ

В. А. БЕЙНАРОВИЧ, А. И. САПОЖНИКОВ, В. К. СМИРНОВ,  
В. М. СТЕПАНОВ

(Представлена научно-техническим семинаром НИИ АЭМ)

Исследование систем автоматического управления с двигателями постоянного тока при двухканальном управлении посвящено большое число работ, например [2, 3, 4]. Однако в этих работах не учтено демпфирующее влияние вихревых токов в массивных частях магнитопроводов электродвигателей, которые оказывают существенное влияние на протекание переходных процессов в быстродействующих приводах с двигателями средней и большой мощности. Некоторые авторы учитывают действие вихревых токов введением электромагнитной постоянной времени контура вихревых токов  $T_k$ , определяемой по формуле Рюденберга [3], которая дает значительно завышенные значения  $T_k$ . Наиболее точный динамический расчет системы получается при учете действия контура вихревых токов по методике Жица [5]. Однако при использовании методики [5] значительно усложняется выражение передаточной функции двигателя, что затрудняет проведение расчетов.

В настоящей работе выводится передаточная функция двигателя при управлении по цепи обмотки возбуждения. Уравнения обмотки возбуждения составлены на основании схемы замещения (рис. 1) электромагнитной цепи обмотки возбуждения с учетом вихревых токов и потоков рассеяния [4]. В этой схеме потоки рассеяния обмотки возбуждения учитываются индуктивностью  $L_{sb}$ , а эквивалентный контур вихревых токов, приведенный к обмотке возбуждения, учитывается сопротивлением  $r_{kv}$ , которое целесообразно вычислять по методике [1].

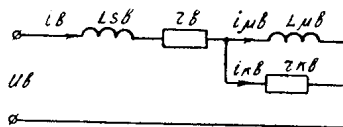


Рис. 1. Электромагнитная цепь обмотки возбуждения.

При составлении уравнений двигателя с учетом вихревых токов в массивных частях магнитопровода, потоков рассеяния и индуктивности цепи якоря были принятые следующие допущения:

характеристики линеаризуются в области малых отклонений от состояния установившегося режима работы;

индуктивности обмоток якоря и возбуждения не изменяются;

размагничивающее действие реакции якоря компенсируется потоком дополнительных полюсов;

потоки рассеяния пропорциональны току возбуждения;

размагничивающее действие вихревых токов пропорционально скорости изменения основного потока;

взаимоиндукция обмоток возбуждения, дополнительных полюсов и якоря не учитывается.

При этом уравнения электромагнитной цепи обмотки возбуждения можно записать в следующем виде (рис. 1):

$$U_B = i_B (r_B + pL_{SB}) + r_{KB} \cdot i_{KB}, \quad (1)$$

$$pL_{PB} \cdot i_{PB} = r_{KB} \cdot i_{KB}; \quad (2)$$

$$i_B = i_{KB} + i_{PB}, \quad (3)$$

где

$U_B$ ,  $i_B$ ,  $r_B$  — напряжение, ток и сопротивление цепи возбуждения;

$i_{PB}$  — намагничивающий ток цепи возбуждения;

$i_{KB}$  — ток эквивалентного контура вихревых токов, приведенный к обмотке возбуждения;

$L_{PB}$ ,  $L_{SB}$  — индуктивность намагничивания и индуктивность рассеяния цепи возбуждения.

По уравнениям (1), (2) и (3) построена структурная схема цепи обмотки возбуждения, которая приведена на рис. 3, а. Передаточная функция для цепи возбуждения двигателя запишется:

$$W_I(p) = \frac{\Delta i_{PB}(p)}{\Delta U_B(p)} = \frac{1/r_B}{1 + pT_{SB} + pT_{PB} + pT_{KB} + p^2 T_{SB} \cdot T_{KB}}, \quad (4)$$

где

$$T_{SB} = \frac{L_{SB}}{r_B}; \quad T_{PB} = \frac{L_{PB}}{r_B}; \quad T_{KB} = \frac{L_{PB}}{r_{KB}}.$$

Схема замещения якорной цепи компенсированного двигателя постоянного тока параллельного возбуждения с учетом вихревых токов и потоков рассеяния приведена на рис. 2. В этой схеме потоки рассеяния

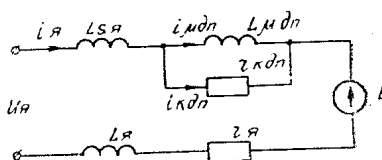


Рис. 2. Электромагнитная цепь якоря двигателя.

учитываются индуктивностью  $L_{Sy}$ , а эквивалентный контур вихревых токов учитывается сопротивлением, определяемым аналогично сопротивлению  $r_{KB}$ . Схема замещения якорной цепи описывается следующими уравнениями:

$$U_y = i_y [r_y z + p (L_{Sy} + L_y)] + i_{KB} \cdot r_{Kdp} - E; \quad (5)$$

$$pL_{Mdp} \cdot i_{Mdp} = i_{Kdp} \cdot r_{Kdp}; \quad (6)$$

$$i_y = i_{Kdp} + i_{Mdp}, \quad (7)$$

где

$U_y$ ,  $i_y$ ,  $r_y z$  — напряжение питания, ток и суммарное сопротивление якорной цепи;

$i_{Mdp}$  — намагничивающий ток дополнительных полюсов;

$i_{k\partial n}$  — ток эквивалентного контура вихревых токов;  
 $L_{p\partial n}, L_y$  — индуктивность намагничивания дополнительных по-  
люсов и индуктивность якоря двигателя;  
 $E$  — э. д. с. вращения.

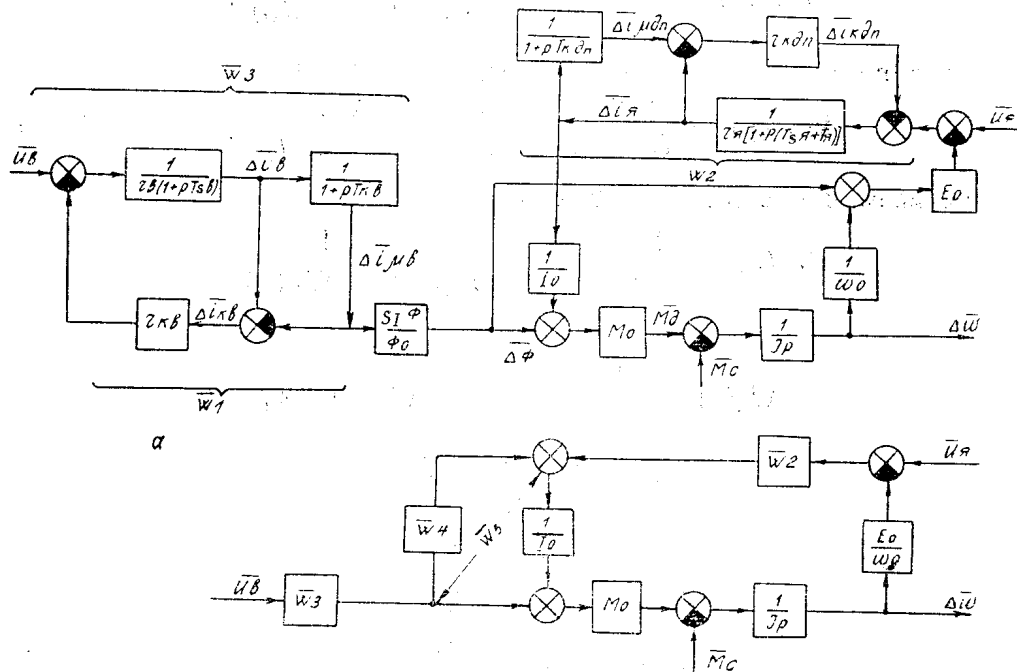


Рис. 3. Структурные схемы электродвигателя параллельного возбуж-  
дения при двухканальном управлении.

По уравнениям (5), (6), (7) построена структурная схема цепи якоря электродвигателя (рис. 3, а). После преобразования структурной схемы (рис. 3, а) к одноконтурной передаточная функция якорной цепи двигателя запишется в виде:

$$W_2(p) = \frac{\Delta i_y(p)}{\Delta U_y(p)} = \frac{1 + p \cdot T_{k\partial n}}{r_{y\Sigma} [1 + p(T_{S\partial} + T_y)](1 + pT_{k\partial n}) + pT_{k\partial n} \cdot r_{k\partial n}}, \quad (8)$$

где

$$T_{S\partial} = \frac{L_{S\partial}}{r_{y\Sigma}}; \quad T_y = \frac{L_y}{r_{y\Sigma}}; \quad T_{k\partial n} = \frac{L_{p\partial n}}{r_{k\partial n}}.$$

Запишем операторные уравнения в приращениях для потока  $\Delta\Phi$ , э. д. с. вращения  $\Delta E$ , электромагнитного момента  $\Delta M$  и скорости  $\Delta\omega$  электродвигателя [2].

$$\Delta\Phi(p) = S^{\Phi_1} \cdot \Delta i_{p\partial} (p); \quad (9)$$

$$\Delta E(p) = E_0 \left[ \frac{\Delta\Phi(p)}{\Phi_0} + \frac{\Delta\omega(p)}{\omega_0} \right]; \quad (10)$$

$$\Delta M(p) = M_0 \left[ \frac{\Delta\Phi(p)}{\Phi_0} + \frac{\Delta I_y(p)}{I_0} \right]; \quad (11)$$

$$\Delta\omega(p) = \frac{1}{J_p} [\Delta M(p) - \Delta M_H(p)]. \quad (12)$$

По формулам (1)–(3), (5)–(7) и (9)–(11) на рис. 3, а построена структурная схема электродвигателя параллельного возбуждения при

двуиханальном управлении. Произведя преобразования структурной схемы к одноконтурной, передаточная функция двигателя запишется:  
для управляющего воздействия по цепи возбуждения

$$W_{\partial_B}(p) = \frac{\Delta\omega(p)}{\Delta U_B(p)} = \frac{M_0}{I \cdot p} \cdot \frac{W_6(p)}{1 + W_7(p)}; \quad (13)$$

для управляющего воздействия по цепи якоря

$$W_{\partial_A}(p) = \frac{\Delta\omega(p)}{\Delta U_A(p)} = \frac{M_0}{I_c \cdot I_p} \cdot \frac{W_2(p)}{1 + W_7(p)}; \quad (14)$$

для возмущающего воздействия

$$W_M(p) = \frac{\Delta\omega(p)}{\Delta M(p)} = -\frac{1}{I \cdot p} \cdot \frac{1}{1 + W_7(p)}, \quad (15)$$

где

$$W_7(p) = \frac{1}{I \cdot p} - \frac{E_0}{\omega_0} \frac{1}{I_0} \cdot W_2(p) \cdot M_0; \quad (16)$$

$$W_6(p) = W_3(p) \cdot W_5(p); \quad (17)$$

$$W_5(p) = \frac{1}{I_0} \cdot W_4(p) + 1; \quad (18)$$

$$W_4(p) = -E_0 \cdot W_2(p); \quad (19)$$

$$W_3(p) = W_1 p \frac{S^{\Phi_1}}{\Phi_0}. \quad (20)$$

Такие передаточные функции двигателя постоянного тока целесообразно использовать для исследования систем автоматического управления, в которых цепь якоря и возбуждения (или одна из них) питается от источника с пульсирующим напряжением, например, от тиристорного преобразователя. При этом вихревые токи в массивных частях магнитопровода электродвигателя оказывают существенное влияние на электромагнитные переходные процессы. Влияние вихревых токов изменяет характер протекания переходных процессов. Ток в цепи обмотки возбуждения при ступенчатом изменении напряжения в начале процесса изменяется интенсивнее, а магнитный поток и э. д. с. двигателя изменяются медленнее. В машинах с шихтованными магнитопроводами вихревые токи почти отсутствуют и поток возбуждения изменяется идентично с током возбуждения [6].

При питании цепи обмотки возбуждения и цепи якоря двигателя от общего источника с напряжением  $U$  структурную схему двигателя постоянного тока (рис. 3, a) можно привести к виду рис. 4. В таком случае передаточные функции двигателя запишутся:

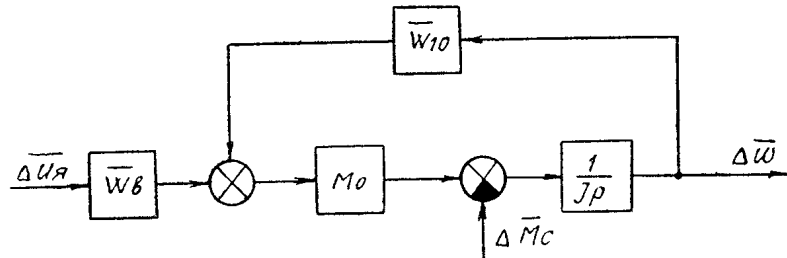


Рис. 4. Структурная схема электродвигателя параллельного возбуждения при питании цепи обмотки возбуждения и цепи якоря от общего источника.

по управляющему воздействию

$$W_y(p) = \frac{\Delta\omega(p)}{\Delta U(p)} = \frac{W_8(p) \cdot M^0}{I \cdot p [1 - W_{10}(p)]}; \quad (21)$$

по возмущающему воздействию

$$W_m(p) = \frac{\Delta\omega(p)}{\Delta M(p)} = \frac{1}{I \cdot p} \cdot \frac{1}{1 - W_{10}(p)}. \quad (22)$$

где

$$W_{10}(p) = \frac{M_0}{I \cdot p} \cdot W_9(p); \quad (23)$$

$$W_9(p) = \frac{1}{I_0} \cdot W_2(p) - \frac{E_0}{\omega_0}; \quad (24)$$

$$W_8(p) = \frac{1}{I_0} \cdot W_2(p) + W_4(p). \quad (25)$$

Приведенные передаточные функции позволяют исследовать системы электропривода с двигателями постоянного тока с учетом вихревых токов и потоков рассеяния при управлении по цепи возбуждения, по цели якоря и управлении при совместном питании цепей возбуждения и якоря от общего источника, а также исследовать влияние возмущения по величине момента нагрузки.

#### ЛИТЕРАТУРА

1. Ю. А. Карпов. Метод учета вихревых токов при расчете переходных процессов. Доклады НТ конференции по итогам научно-исследовательских работ за 1966—67 гг. Секция электрификации и автоматизации промышленности и транспорта. Подсекция электрического транспорта. Труды МЭИ, М., 1967.
2. А. С. Шаталов. Структурные методы в теории управления и электроавтоматики. М.-Л., Госэнергоиздат, 1962.
3. Е. Д. Лебедев, В. Е. Неймарк, М. Я. Пистрак, О. В. Слежановский. Управление вентильными электроприводами постоянного тока. М., «Энергия», 1970.
4. Ю. А. Борцов, Г. В. Суворов. Методы исследования динамики сложных систем электропривода. М.-Л., «Энергия», 1966.
5. М. З. Жиц. Анализ переходных процессов в машинах постоянного тока. «Электротехника», 1965, № 9.
6. В. И. Архангельский. Системы реверсивных электроприводов. Киев, «Техника», 1972.